

# Laserová technika 2

## Aktivní prostředí

### Šíření optických impulsů v aktivním prostředí

Jan Šulc

Katedra fyzikální elektroniky  
České vysoké učení technické v Praze  
jan.sulc@fjfi.cvut.cz

23. listopadu 2022

1. Poloklasická teorie šíření rezonančního záření dvouhladinovým prostředím
2. Šíření stacionární rovinné vlny v aktivním prostředí
3. Šíření optických impulsů v aktivním prostředí
4. Laser v aproximaci rychlostních rovnic
5. Rychlostní rovnice pro Q-spínaný laser
6. Koherentní šíření impulsu a zesílená spontánní emise

Záření – elektromagnetická vlna, popisují MR **klasicky**

**Záření** – elektromagnetická vlna, popisují MR **klasicky**

**Prostředí** – soubor dvouhadinových **kvantových** soustav, popisuje SR

Záření – elektromagnetická vlna, popisují MR **klasicky**

Prostředí – soubor dvouhladinových **kvantových** soustav, popisuje SR

Rezonanční záření – rezonance s kvantovým přechodem  $\omega_{21} = (E_2 - E_1)/\hbar$

**Záření** – elektromagnetická vlna, popisují MR **klasicky**

**Prostředí** – soubor dvouhadinových **kvantových** soustav, popisuje SR

**Rezonanční záření** – rezonance s kvantovým přechodem  $\omega_{21} = (E_2 - E_1)/\hbar$

**Interakce záření s hmotou** – prostřednictvím polarizace prostředí (dipólového momentu elementárních KS)

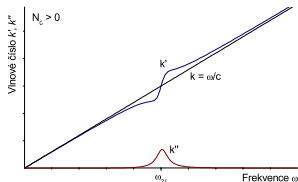
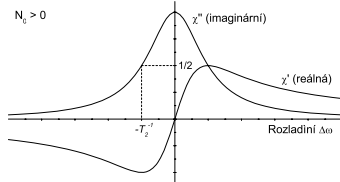
**Záření** – elektromagnetická vlna, popisují MR **klasicky**

**Prostředí** – soubor dvouhadinových **kvantových** soustav, popisuje SR

**Rezonanční záření** – rezonance s kvantovým přechodem  $\omega_{21} = (E_2 - E_1)/\hbar$

**Interakce záření s hmotou** – prostřednictvím polarizace prostředí (dipólového momentu elementárních KS)

- ▶ **Rezonanční prostředí je disperzní** – susceptibilita  $\chi$  (index lomu  $n = \sqrt{1 + \chi}$ ) je funkcí frekvence záření



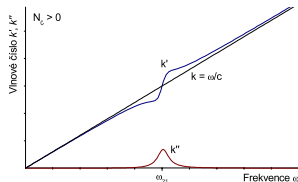
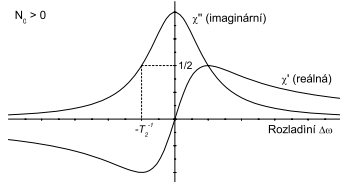
**Záření** – elektromagnetická vlna, popisují MR **klasicky**

**Prostředí** – soubor dvouhadinových **kvantových** soustav, popisuje SR

**Rezonanční záření** – rezonance s kvantovým přechodem  $\omega_{21} = (E_2 - E_1)/\hbar$

**Interakce záření s hmotou** – prostřednictvím polarizace prostředí (dipólového momentu elementárních KS)

- ▶ **Rezonanční prostředí je disperzní** – susceptibilita  $\chi$  (index lomu  $n = \sqrt{1 + \chi}$ ) je funkcí frekvence záření



- ▶ **Rezonanční prostředí je nelineární** – v blízkosti rezonanční frekvence může v závislosti na obsazení hladin docházet k pohlcení nebo zesílení záření (susceptibilita je komplexní), v závislosti na intenzitě záření dochází k saturaci zesílení (absorpce)

$$I(z) = I_0 e^{g_0 z} \quad g = \frac{g_0}{1 + \frac{I}{I_s}}$$



- ▶ Pro šíření záření v makroskopickém prostředí tvořeném souborem dvouhladinových kvantových soustav lze odvodit v poloklasickém přiblížení následující soustavu rovnic:

$$\Delta \vec{E} - \frac{1}{c^2} \frac{\partial^2 \vec{E}}{\partial t^2} = \mu_0 \frac{\partial^2 \vec{P}}{\partial t^2}$$

$$\left[ \left( \frac{\partial}{\partial t} + \frac{1}{T_2} \right)^2 + \omega_{21}^2 \right] \vec{P} = -2\omega_{21} \frac{\vec{E}}{\hbar} |\vec{d}_{21}|^2 N$$

$$\left( \frac{\partial}{\partial t} + \frac{1}{T_1} \right) (N - N_0) = \frac{2\vec{E}}{\hbar\omega_{21}} \cdot \left( \frac{\partial}{\partial t} + \frac{1}{T_2} \right) \vec{P}$$

- ▶ Pro šíření záření v makroskopickém prostředí tvořeném souborem dvouhladinových kvantových soustav lze odvodit v poloklasickém přiblížení následující soustavu rovnic:

$$\Delta \vec{E} - \frac{1}{c^2} \frac{\partial^2 \vec{E}}{\partial t^2} = \mu_0 \frac{\partial^2 \vec{P}}{\partial t^2}$$

$$\left[ \left( \frac{\partial}{\partial t} + \frac{1}{T_2} \right)^2 + \omega_{21}^2 \right] \vec{P} = -2\omega_{21} \frac{\vec{E}}{\hbar} |\vec{d}_{21}|^2 N$$

$$\left( \frac{\partial}{\partial t} + \frac{1}{T_1} \right) (N - N_0) = \frac{2\vec{E}}{\hbar\omega_{21}} \cdot \left( \frac{\partial}{\partial t} + \frac{1}{T_2} \right) \vec{P}$$

- ▶ Vzájemně vázané **nelineární** vektorové parciální diferenciální rovnice **druhého řádu**  $\Rightarrow$  celkem 7 rovnic

- ▶ Pro šíření záření v makroskopickém prostředí tvořeném souborem dvouhladinových kvantových soustav lze odvodit v poloklasickém přiblížení následující soustavu rovnic:

$$\Delta \vec{E} - \frac{1}{c^2} \frac{\partial^2 \vec{E}}{\partial t^2} = \mu_0 \frac{\partial^2 \vec{P}}{\partial t^2}$$

$$\left[ \left( \frac{\partial}{\partial t} + \frac{1}{T_2} \right)^2 + \omega_{21}^2 \right] \vec{P} = -2\omega_{21} \frac{\vec{E}}{\hbar} |\vec{d}_{21}|^2 N$$

$$\left( \frac{\partial}{\partial t} + \frac{1}{T_1} \right) (N - N_0) = \frac{2\vec{E}}{\hbar\omega_{21}} \cdot \left( \frac{\partial}{\partial t} + \frac{1}{T_2} \right) \vec{P}$$

- ▶ Vzájemně vázané **nelineární** vektorové parciální diferenciální rovnice **druhého řádu**  $\Rightarrow$  celkem 7 rovnic
- ▶ Zahrnují všechny kvantové aspekty odezvy kvantové soustavy

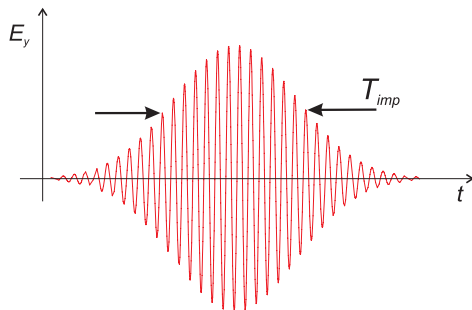
- ▶ Pro šíření záření v makroskopickém prostředí tvořeném souborem dvouhladinových kvantových soustav lze odvodit v poloklasickém přiblížení následující soustavu rovnic:

$$\Delta \vec{E} - \frac{1}{c^2} \frac{\partial^2 \vec{E}}{\partial t^2} = \mu_0 \frac{\partial^2 \vec{P}}{\partial t^2}$$

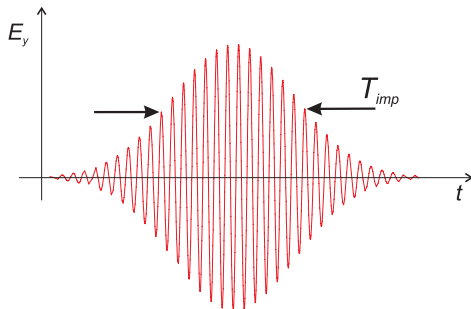
$$\left[ \left( \frac{\partial}{\partial t} + \frac{1}{T_2} \right)^2 + \omega_{21}^2 \right] \vec{P} = -2\omega_{21} \frac{\vec{E}}{\hbar} |\vec{d}_{21}|^2 N$$

$$\left( \frac{\partial}{\partial t} + \frac{1}{T_1} \right) (N - N_0) = \frac{2\vec{E}}{\hbar\omega_{21}} \cdot \left( \frac{\partial}{\partial t} + \frac{1}{T_2} \right) \vec{P}$$

- ▶ Vzájemně vázané **nelineární** vektorové parciální diferenciální rovnice **druhého řádu**  $\Rightarrow$  celkem 7 rovnic
- ▶ Zahrnují všechny kvantové aspekty odezvy kvantové soustavy
- ▶ Umožňují určit odezvu 2H rezonanačního prostředí obecně pro „jakýkoliv“ průběh elektromagnetického pole

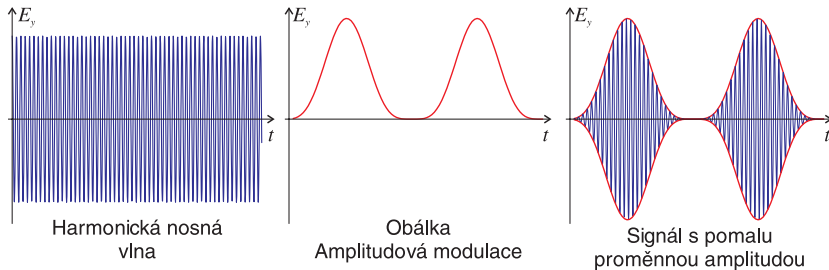


- ▶ Lineárně polarizovaná harmonická vlna

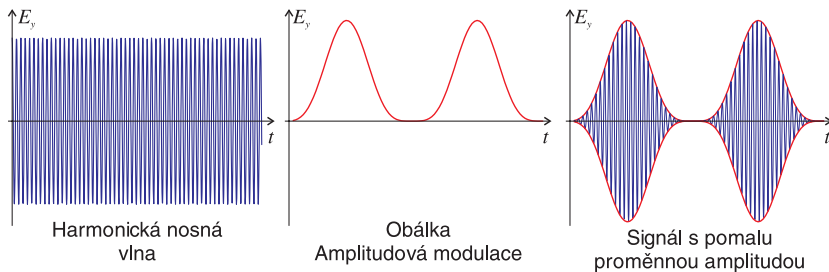


- ▶ Lineárně polarizovaná harmonická vlna
- ▶ **Pomalý impuls** – doba trvání impulsu  $T_{imp} \gg$  doba jednoho kmitu pole  $2\pi/\omega$

- Předpokládáme následující průběh pole a polarizace (pomalu proměnná **amplituda** s harmonickou „nosnou“ vlnou):



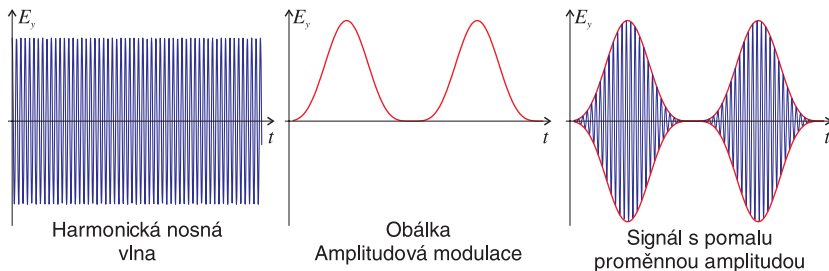
- Předpokládáme následující průběh pole a polarizace (pomalu proměnná **amplituda** s harmonickou „nosnou“ vlnou):



- Vektory makroskopické polarizace a elektromagnetického pole mají pomalu proměnné amplitudy (v čase i v prostoru)



- ▶ Předpokládáme následující průběh pole a polarizace (pomalu proměnná **amplituda** s harmonickou „nosnou“ vlnou):

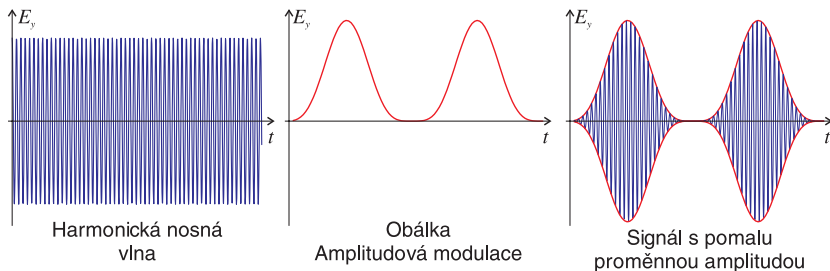


- ▶ Vektory makroskopické polarizace a elektromagnetického pole mají pomalu proměnné amplitudy (v čase i v prostoru)
- ▶ Předpokládáme následující průběh elektromagnetického pole a polarizace:

$$\vec{E} = \vec{t}_y \mathcal{E}(\mathbf{z}, t) \cos[\omega t - k z + \Phi(\mathbf{z}, t)]$$

$$\vec{P} = \vec{t}_y \{ \mathcal{P}_1(\mathbf{z}, t) \cos[\omega t - k z + \Phi(\mathbf{z}, t)] + \mathcal{P}_2(\mathbf{z}, t) \sin[\omega t - k z + \Phi(\mathbf{z}, t)] \}$$

- ▶ Předpokládáme následující průběh pole a polarizace (pomalu proměnná **amplituda** s harmonickou „nosnou“ vlnou):



- ▶ Vektory makroskopické polarizace a elektromagnetického pole mají pomalu proměnné amplitudy (v čase i v prostoru)
- ▶ Předpokládáme následující průběh elektromagnetického pole a polarizace:

$$\vec{E} = \vec{i}_y \mathcal{E}(z, t) \cos [\omega t - kz + \Phi(z, t)]$$

$$\vec{P} = \vec{i}_y \{ \mathcal{P}_1(z, t) \cos [\omega t - kz + \Phi(z, t)] + \mathcal{P}_2(z, t) \sin [\omega t - kz + \Phi(z, t)] \}$$

- ▶ Dosadíme toto očekávané řešení a postupně nalezneme rovnice pro pomalu proměnné amplitudy pole a polarizace

# Rovnice pro impuls s pomalu proměnnou obálkou v rezonanci a bez fázové modulace

- ▶ Uvažujeme signál v přesné rezonanci  $\omega = \omega_{21}$

# Rovnice pro impuls s pomalu proměnnou obálkou v rezonanci a bez fázové modulace

- ▶ Uvažujeme signál v přesné rezonanci  $\omega = \omega_{21}$
- ▶ Uvažujeme signál bez fázové modulace  $\Phi = \text{const.}$

# Rovnice pro impuls s pomalu proměnnou obálkou v rezonanci a bez fázové modulace

- ▶ Uvažujeme signál v přesné rezonanci  $\omega = \omega_{21}$
- ▶ Uvažujeme signál bez fázové modulace  $\Phi = \text{const.}$
- ▶ Zavedeme tzv. *lokální čas*

$$t' = t - \frac{z}{c}, \quad z' = z$$

# Rovnice pro impuls s pomalu proměnnou obálkou v rezonanci a bez fázové modulace

- ▶ Uvažujeme signál v přesné rezonanci  $\omega = \omega_{21}$
- ▶ Uvažujeme signál bez fázové modulace  $\Phi = \text{const.}$
- ▶ Zavedeme tzv. *lokální čas*

$$t' = t - \frac{z}{c}, \quad z' = z$$

- ▶ Dostaneme:

$$\begin{aligned}\frac{\partial \mathcal{E}}{\partial z'} &= -\frac{\mu_0 \omega_{21} c}{2} \mathcal{P}_2 \\ \frac{\partial \mathcal{P}_2}{\partial t'} &= -\frac{\mathcal{P}_2}{T_2} - \frac{|d_{21}|^2}{\hbar} \mathcal{E} N \\ \frac{\partial N}{\partial t'} &= -\frac{N - N_0}{T_1} + \frac{1}{\hbar} \mathcal{E} \mathcal{P}_2\end{aligned}$$

# Rovnice pro impuls s pomalu proměnnou obálkou v rezonanci a bez fázové modulace

- ▶ Uvažujeme signál v přesné rezonanci  $\omega = \omega_{21}$
- ▶ Uvažujeme signál bez fázové modulace  $\Phi = \text{const.}$
- ▶ Zavedeme tzv. *lokální čas*

$$t' = t - \frac{z}{c}, \quad z' = z$$

- ▶ Dostaneme:

$$\begin{aligned}\frac{\partial \mathcal{E}}{\partial z'} &= -\frac{\mu_0 \omega_{21} c}{2} \mathcal{P}_2 \\ \frac{\partial \mathcal{P}_2}{\partial t'} &= -\frac{\mathcal{P}_2}{T_2} - \frac{|d_{21}|^2}{\hbar} \mathcal{E} N \\ \frac{\partial N}{\partial t'} &= -\frac{N - N_0}{T_1} + \frac{1}{\hbar} \mathcal{E} \mathcal{P}_2\end{aligned}$$

- ▶ Rovnice **nelineární**

# Rovnice pro impuls s pomalu proměnnou obálkou v rezonanci a bez fázové modulace

- ▶ Uvažujeme signál v přesné rezonanci  $\omega = \omega_{21}$
- ▶ Uvažujeme signál bez fázové modulace  $\Phi = \text{const.}$
- ▶ Zavedeme tzv. *lokální čas*

$$t' = t - \frac{z}{c}, \quad z' = z$$

- ▶ Dostaneme:

$$\begin{aligned}\frac{\partial \mathcal{E}}{\partial z'} &= -\frac{\mu_0 \omega_{21} c}{2} \mathcal{P}_2 \\ \frac{\partial \mathcal{P}_2}{\partial t'} &= -\frac{\mathcal{P}_2}{T_2} - \frac{|d_{21}|^2}{\hbar} \mathcal{E} N \\ \frac{\partial N}{\partial t'} &= -\frac{N - N_0}{T_1} + \frac{1}{\hbar} \mathcal{E} \mathcal{P}_2\end{aligned}$$

- ▶ Rovnice **nelineární**

- ▶ Neplatí princip superpozice  $E_{\text{in}}^{(1)} \rightarrow E_{\text{out}}^{(1)}, E_{\text{in}}^{(2)} \rightarrow E_{\text{out}}^{(2)} \not\Rightarrow E_{\text{in}}^{(1)} + E_{\text{in}}^{(2)} \neq E_{\text{out}}^{(1)} + E_{\text{out}}^{(2)}$



# Rovnice pro impuls s pomalu proměnnou obálkou v rezonanci a bez fázové modulace

- ▶ Uvažujeme signál v přesné rezonanci  $\omega = \omega_{21}$
- ▶ Uvažujeme signál bez fázové modulace  $\Phi = \text{const.}$
- ▶ Zavedeme tzv. *lokální čas*

$$t' = t - \frac{z}{c}, \quad z' = z$$

- ▶ Dostaneme:

$$\begin{aligned}\frac{\partial \mathcal{E}}{\partial \mathbf{z}'} &= -\frac{\mu_0 \omega_{21} c}{2} \mathcal{P}_2 \\ \frac{\partial \mathcal{P}_2}{\partial t'} &= -\frac{\mathcal{P}_2}{T_2} - \frac{|d_{21}|^2}{\hbar} \mathcal{E} N \\ \frac{\partial N}{\partial t'} &= -\frac{N - N_0}{T_1} + \frac{1}{\hbar} \mathcal{E} \mathcal{P}_2\end{aligned}$$

- ▶ Rovnice **nelineární**
- ▶ Neplatí princip superpozice  $E_{\text{in}}^{(1)} \rightarrow E_{\text{out}}^{(1)}, E_{\text{in}}^{(2)} \rightarrow E_{\text{out}}^{(2)} \not\Rightarrow E_{\text{in}}^{(1)} + E_{\text{in}}^{(2)} \neq E_{\text{out}}^{(1)} + E_{\text{out}}^{(2)}$
- ▶ Amplitudy pole a polarizace a také inverze populace hladin závisí na souřadnicích v prostoru i čase.

► Výchozí rovnice

$$\begin{aligned}\frac{\partial \mathcal{E}}{\partial z} &= -\frac{\mu_0 \omega_{21} c}{2} \mathcal{P}_2 \\ \frac{\partial \mathcal{P}_2}{\partial t} &= -\frac{\mathcal{P}_2}{T_2} - \frac{|d_{21}|^2}{\hbar} \mathcal{E} N \\ \frac{\partial N}{\partial t} &= -\frac{N - N_0}{T_1} + \frac{1}{\hbar} \mathcal{E} \mathcal{P}_2\end{aligned}$$

- ▶ Výchozí rovnice

$$\begin{aligned}\frac{\partial \mathcal{E}}{\partial z} &= -\frac{\mu_0 \omega_{21} c}{2} \mathcal{P}_2 \\ \frac{\partial \mathcal{P}_2}{\partial t} &= -\frac{\mathcal{P}_2}{T_2} - \frac{|d_{21}|^2}{\hbar} \mathcal{E} N \\ \frac{\partial N}{\partial t} &= -\frac{N - N_0}{T_1} + \frac{1}{\hbar} \mathcal{E} \mathcal{P}_2\end{aligned}$$

- ▶ **Stacionární signál**  $\Rightarrow$  položíme **časové derivace**  $\equiv 0$

- ▶ Výchozí rovnice

$$\begin{aligned}\frac{\partial \mathcal{E}}{\partial z} &= -\frac{\mu_0 \omega_{21} c}{2} \mathcal{P}_2 \\ \frac{\partial \mathcal{P}_2}{\partial t} &= -\frac{\mathcal{P}_2}{T_2} - \frac{|d_{21}|^2}{\hbar} \mathcal{E} N \\ \frac{\partial N}{\partial t} &= -\frac{N - N_0}{T_1} + \frac{1}{\hbar} \mathcal{E} \mathcal{P}_2\end{aligned}$$

- ▶ **Stacionární signál**  $\Rightarrow$  položíme **časové derivace**  $\equiv 0$
- ▶ Získáme rovnice pro  $\mathcal{P}_2(z)$ ,  $N(z)$

$$\begin{aligned}0 &= -\frac{\mathcal{P}_2}{T_2} - \frac{|d_{21}|^2}{\hbar} \mathcal{E} N & \Rightarrow & \mathcal{P}_2(z) = -\frac{|d_{21}|^2}{\hbar} T_2 \mathcal{E} N \\ 0 &= -\frac{(N - N_0)}{T_1} + \frac{1}{\hbar} \mathcal{E} \mathcal{P}_2 & \Rightarrow & N(z) = \frac{N_0}{1 + \frac{|d_{21}|^2}{\hbar^2} T_1 T_2 \mathcal{E}^2}\end{aligned}$$

- ▶ Výchozí rovnice

$$\begin{aligned}\frac{\partial \mathcal{E}}{\partial z} &= -\frac{\mu_0 \omega_{21} c}{2} \mathcal{P}_2 \\ \frac{\partial \mathcal{P}_2}{\partial t} &= -\frac{\mathcal{P}_2}{T_2} - \frac{|d_{21}|^2}{\hbar} \mathcal{E} N \\ \frac{\partial N}{\partial t} &= -\frac{N - N_0}{T_1} + \frac{1}{\hbar} \mathcal{E} \mathcal{P}_2\end{aligned}$$

- ▶ **Stacionární signál**  $\Rightarrow$  položíme **časové derivace**  $\equiv 0$
- ▶ Získáme rovnice pro  $\mathcal{P}_2(z)$ ,  $N(z)$

$$\begin{aligned}0 &= -\frac{\mathcal{P}_2}{T_2} - \frac{|d_{21}|^2}{\hbar} \mathcal{E} N & \Rightarrow & \mathcal{P}_2(z) = -\frac{|d_{21}|^2}{\hbar} T_2 \mathcal{E} N \\ 0 &= -\frac{(N - N_0)}{T_1} + \frac{1}{\hbar} \mathcal{E} \mathcal{P}_2 & \Rightarrow & N(z) = \frac{N_0}{1 + \frac{|d_{21}|^2}{\hbar^2} T_1 T_2 \mathcal{E}^2}\end{aligned}$$

- ▶ Zůstává diferenciální rovnice pro změnu intenzity  $\mathcal{E}$  ve směru šíření  $z$

$$\frac{\partial \mathcal{E}}{\partial z} = -\frac{\mu_0 \omega_{21} c}{2} \mathcal{P}_2 \quad \Rightarrow \quad \frac{\partial \mathcal{E}}{\partial z} = \frac{|d_{21}|^2}{\hbar} \frac{\mu_0 \omega_{21} c}{2} T_2 N_0 \frac{\mathcal{E}}{1 + \frac{|d_{21}|^2}{\hbar^2} T_1 T_2 \mathcal{E}^2}$$

# Šíření stacionárního rezonančního signálu bez fázové modulace

## Rovnice pro intenzitu optického záření

- ▶ Přejdeme od intenzity elektrického pole k intenzitě světla  $I = \frac{1}{2} c \epsilon_0 \mathcal{E}^2$

$$\frac{\partial \mathcal{E}}{\partial z} = \frac{|d_{21}|^2}{\hbar} \frac{\mu_0 \omega_{21} c}{2} T_2 N_0 \frac{\mathcal{E}}{1 + \frac{|d_{21}|^2}{\hbar^2} T_1 T_2 \mathcal{E}^2} \Rightarrow \frac{dI}{dz} = \frac{g_0}{1 + I/I_s} I$$

# Šíření stacionárního rezonančního signálu bez fázové modulace

## Rovnice pro intenzitu optického záření

- ▶ Přejdeme od intenzity elektrického pole k intenzitě světla  $I = \frac{1}{2} c \epsilon_0 \mathcal{E}^2$

$$\frac{\partial \mathcal{E}}{\partial z} = \frac{|d_{21}|^2}{\hbar} \frac{\mu_0 \omega_{21} c}{2} T_2 N_0 \frac{\mathcal{E}}{1 + \frac{|d_{21}|^2}{\hbar^2} T_1 T_2 \mathcal{E}^2} \Rightarrow \frac{dI}{dz} = \frac{g_0}{1 + I/I_s} I$$

- ▶ Přitom využijeme vztah pro derivaci složené funkce:

$$\frac{\partial \mathcal{E}^2}{\partial z} = 2\mathcal{E} \frac{\partial \mathcal{E}}{\partial z}$$

# Šíření stacionárního rezonančního signálu bez fázové modulace

## Rovnice pro intenzitu optického záření

- ▶ Přejdeme od intenzity elektrického pole k intenzitě světla  $I = \frac{1}{2} c \epsilon_0 \mathcal{E}^2$

$$\frac{\partial \mathcal{E}}{\partial z} = \frac{|d_{21}|^2}{\hbar} \frac{\mu_0 \omega_{21} c}{2} T_2 N_0 \frac{\mathcal{E}}{1 + \frac{|d_{21}|^2}{\hbar^2} T_1 T_2 \mathcal{E}^2} \Rightarrow \frac{dI}{dz} = \frac{g_0}{1 + I/I_s} I$$

- ▶ Přitom využijeme vztah pro derivaci složené funkce:

$$\frac{\partial \mathcal{E}^2}{\partial z} = 2\mathcal{E} \frac{\partial \mathcal{E}}{\partial z}$$

- ▶ Zisk pro slabý signál  $g_0 = \sigma N_0$



# Šíření stacionárního rezonančního signálu bez fázové modulace

## Rovnice pro intenzitu optického záření

- ▶ Přejdeme od intenzity elektrického pole k intenzitě světla  $I = \frac{1}{2}c\epsilon_0\mathcal{E}^2$

$$\frac{\partial \mathcal{E}}{\partial z} = \frac{|d_{21}|^2}{\hbar} \frac{\mu_0 \omega_{21} c}{2} T_2 N_0 \frac{\mathcal{E}}{1 + \frac{|d_{21}|^2}{\hbar^2} T_1 T_2 \mathcal{E}^2} \Rightarrow \frac{dI}{dz} = \frac{g_0}{1 + I/I_s} I$$

- ▶ Přitom využijeme vztah pro derivaci složené funkce:

$$\frac{\partial \mathcal{E}^2}{\partial z} = 2\mathcal{E} \frac{\partial \mathcal{E}}{\partial z}$$

- ▶ Zisk pro slabý signál  $g_0 = \sigma N_0$
- ▶ Účinný průřez pro stimulovanou emisi

$$\sigma = \frac{\mu_0 \omega_{21} c |d_{21}|^2}{\hbar} T_2$$

# Šíření stacionárního rezonančního signálu bez fázové modulace

## Rovnice pro intenzitu optického záření

- ▶ Přejdeme od intenzity elektrického pole k intenzitě světla  $I = \frac{1}{2}c\epsilon_0\mathcal{E}^2$

$$\frac{\partial \mathcal{E}}{\partial z} = \frac{|d_{21}|^2}{\hbar} \frac{\mu_0 \omega_{21} c}{2} T_2 N_0 \frac{\mathcal{E}}{1 + \frac{|d_{21}|^2}{\hbar^2} T_1 T_2 \mathcal{E}^2} \Rightarrow \frac{dI}{dz} = \frac{g_0}{1 + I/I_s} I$$

- ▶ Přitom využijeme vztah pro derivaci složené funkce:

$$\frac{\partial \mathcal{E}^2}{\partial z} = 2\mathcal{E} \frac{\partial \mathcal{E}}{\partial z}$$

- ▶ Zisk pro slabý signál  $g_0 = \sigma N_0$
- ▶ Účinný průřez pro stimulovanou emisi

$$\sigma = \frac{\mu_0 \omega_{21} c |d_{21}|^2}{\hbar} T_2$$

- ▶ Saturační intenzita

$$I_s = \frac{\hbar \omega}{2\sigma T_1}$$

# Šíření stacionárního rezonančního signálu bez fázové modulace

## Zesilování

- ▶ Rovnice popisující zesilování rezonančního záření

$$\frac{dI}{dz} = \frac{g_0}{1 + I/I_s} I$$

# Šíření stacionárního rezonančního signálu bez fázové modulace

## Zesilování

- ▶ Rovnice popisující zesilování rezonančního záření

$$\frac{dI}{dz} = \frac{g_0}{1 + I/I_s} I$$

- ▶ Normovaná intenzita záření

$$J = \frac{I}{I_s} \Rightarrow \frac{dJ}{dz} = \frac{g_0}{1 + J} J$$

# Šíření stacionárního rezonančního signálu bez fázové modulace

## Zesilování

- ▶ Rovnice popisující zesilování rezonančního záření

$$\frac{dI}{dz} = \frac{g_0}{1 + I/I_s} I$$

- ▶ Normovaná intenzita záření

$$J = \frac{I}{I_s} \Rightarrow \frac{dJ}{dz} = \frac{g_0}{1 + J} J$$

- ▶ Separace proměnných

$$\frac{1 + J}{J} dJ = g_0 dz$$

# Šíření stacionárního rezonančního signálu bez fázové modulace

## Zesilování

- ▶ Rovnice popisující zesilování rezonančního záření

$$\frac{dI}{dz} = \frac{g_0}{1 + I/I_s} I$$

- ▶ Normovaná intenzita záření

$$J = \frac{I}{I_s} \Rightarrow \frac{dJ}{dz} = \frac{g_0}{1 + J} J$$

- ▶ Separace proměnných

$$\frac{1 + J}{J} dJ = g_0 dz$$

- ▶ Okrajová (počáteční) podmínka

$$J|_{z=0} = J_1$$

# Šíření stacionárního rezonančního signálu bez fázové modulace

## Zesilování

- ▶ Rovnice popisující zesilování rezonančního záření

$$\frac{dI}{dz} = \frac{g_0}{1 + I/I_s} I$$

- ▶ Normovaná intenzita záření

$$J = \frac{I}{I_s} \Rightarrow \frac{dJ}{dz} = \frac{g_0}{1 + J} J$$

- ▶ Separace proměnných

$$\frac{1 + J}{J} dJ = g_0 dz$$

- ▶ Okrajová (počáteční) podmínka

$$J|_{z=0} = J_1$$

- ▶ Řešení ( $z = L$ )

$$\ln \frac{J_2}{J_1} + (J_2 - J_1) = g_0 L$$

# Šíření stacionárního rezonančního signálu bez fázové modulace

## Zesilování v prostředí beze ztrát

- ▶ Řešení ( $z = L$ ) – transcendentní rovnice

$$\ln \frac{J_2}{J_1} + (J_2 - J_1) = g_0 L$$



# Šíření stacionárního rezonančního signálu bez fázové modulace

## Zesilování v prostředí beze ztrát

- ▶ Řešení ( $z = L$ ) – transcendentní rovnice

$$\ln \frac{J_2}{J_1} + (J_2 - J_1) = g_0 L$$

Slabý signál

$$J_1 \ll 1, \quad J_2 \ll 1$$

$$J_2 = J_1 e^{g_0 L}$$

Silný signál

$$\ln \frac{J_2}{J_1} \approx 0, \quad \text{tj.} \quad \frac{J_2}{J_1} \approx 1$$

$$J_2 = J_1 + g_0 L$$

# Šíření stacionárního rezonančního signálu bez fázové modulace

## Zesilování v prostředí beze ztrát

- ▶ Řešení ( $z = L$ ) – transcendentní rovnice

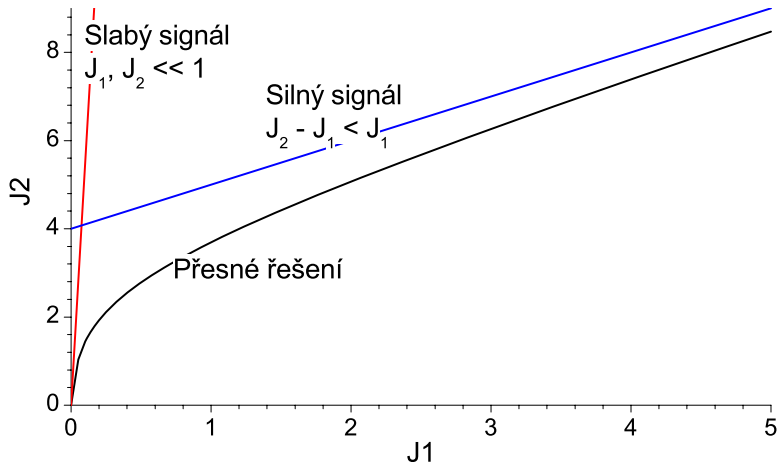
$$\ln \frac{J_2}{J_1} + (J_2 - J_1) = g_0 L$$

Slabý signál	Silný signál
$J_1 \ll 1, \quad J_2 \ll 1$	$\ln \frac{J_2}{J_1} \approx 0, \quad \text{tj.} \quad \frac{J_2}{J_1} \approx 1$
$J_2 = J_1 e^{g_0 L}$	$J_2 = J_1 + g_0 L$

- ▶ Obecné řešení transcendentní rovnice (pro libovolné  $J_1$  a zesílení)

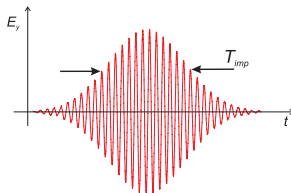
$$J_2 = \text{LambertW} \left\{ J_1 e^{[J_1 + g_0 L]} \right\}$$

# Šíření stacionárního rezonančního signálu bez fázové modulace Zesilování ( $g_0 L = 4$ )

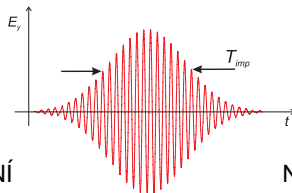


- ▶ Charakter šíření určuje délka obálky impulsu  $T_{imp}$  v porovnání s relaxačními časy  $T_1$  a  $T_2$

- ▶ Charakter šíření určuje délka obálky impulsu  $T_{imp}$  v porovnání s relaxačními časy  $T_1$  a  $T_2$



- ▶ Charakter šíření určuje délka obálky impulsu  $T_{imp}$  v porovnání s relaxačními časy  $T_1$  a  $T_2$



KOHERENTNÍ

$$T_{imp} \ll T_1, T_2$$

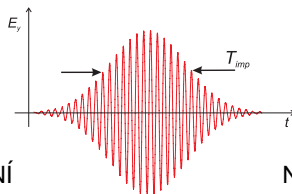
NEKOHERENTNÍ

$$T_{imp} \gg T_1, T_2$$

APROXIMACE  
RYCHLOSTNÍCH ROVNIC

$$T_2 \ll T_{imp} \ll T_1$$

- Charakter šíření určuje délka obálky impulsu  $T_{imp}$  v porovnání s relaxačními časy  $T_1$  a  $T_2$



KOHERENTNÍ

$$T_{imp} \ll T_1, T_2$$

NEKOHERENTNÍ

$$T_{imp} \gg T_1, T_2$$

APROXIMACE  
RYCHLOSTNÍCH ROVNIC

$$T_2 \ll T_{imp} \ll T_1$$

$$\frac{\partial \mathcal{E}}{\partial z'} = -\frac{\mu_0 \omega_{21} c}{2} \mathcal{P}_2$$

$$\frac{\partial \mathcal{P}_2}{\partial t'} = -\frac{\mathcal{P}_2}{T_2} - \frac{|d_{21}|^2}{\hbar} \mathcal{E} N$$

$$\frac{\partial N}{\partial t'} = -\frac{N - N_0}{T_1} + \frac{1}{\hbar} \mathcal{E} \mathcal{P}_2$$

- ▶ Rychlá relaxace rezonančního prostředí



- ▶ Rychlá relaxace rezonančního prostředí
- ▶ Při šíření se projeví ztráty energie způsobené relaxací polarizace i inverze populace hladin

- ▶ Rychlá relaxace rezonančního prostředí
- ▶ Při šíření se projeví ztráty energie způsobené relaxací polarizace i inverze populace hladin
- ▶ Adiabatická eliminace – v každém okamžiku „ustálený stav“

- ▶ Rychlá relaxace rezonančního prostředí
- ▶ Při šíření se projeví ztráty energie způsobené relaxací polarizace i inverze populace hladin
- ▶ Adiabatická eliminace – v každém okamžiku „ustálený stav“
- ▶ Relaxace má větší vliv než změna amplitudy  $\Rightarrow$  časové derivace  $\equiv 0$

$$\frac{\partial N}{\partial t} \ll \frac{N}{T_1}, \quad \frac{\partial \mathcal{P}_2}{\partial t} \ll \frac{\mathcal{P}_2}{T_2}$$

- ▶ Rychlá relaxace rezonančního prostředí
- ▶ Při šíření se projeví ztráty energie způsobené relaxací polarizace i inverze populace hladin
- ▶ Adiabatická eliminace – v každém okamžiku „ustálený stav“
- ▶ Relaxace má větší vliv než změna amplitudy  $\Rightarrow$  časové derivace  $\equiv 0$

$$\frac{\partial N}{\partial t} \ll \frac{N}{T_1}, \quad \frac{\partial P_2}{\partial t} \ll \frac{P_2}{T_2}$$

- ▶ Odpovídá rovnicím pro stacionární signál  $\Rightarrow$  pokud se signál mění pomalu ve srovnání s dobou  $T_1, T_2$ , pak odezva prostředí sleduje vstup

$$\frac{dI(z, t)}{dz} = \frac{g_0}{1 + I(z, t)/I_s} I(z, t)$$

- ▶ Částečná adiabatická eliminace

- ▶ Částečná adiabatická eliminace
- ▶ Polarizace spojená s časem  $T_2$  relaxuje rychle – kvazistacionární stav

$$\begin{aligned}\frac{\partial \mathcal{P}_2}{\partial t'} &= -\frac{\mathcal{P}_2}{T_2} - \frac{|d_{21}|^2}{\hbar} \mathcal{E} N \\ \frac{\partial N}{\partial t'} &= -\frac{N - N_0}{T_1} + \frac{1}{\hbar} \mathcal{E} \mathcal{P}_2 \\ \frac{\partial \mathcal{E}}{\partial \mathbf{z}'} &= -\frac{\mu_0 \omega_{21} \mathbf{c}}{2} \mathcal{P}_2\end{aligned}$$

- ▶ Částečná adiabatická eliminace
- ▶ Polarizace spojená s časem  $T_2$  relaxuje rychle – kvazistacionární stav

$$\begin{aligned}\frac{\partial \mathcal{P}_2}{\partial t'} &= -\frac{\mathcal{P}_2}{T_2} - \frac{|d_{21}|^2}{\hbar} \mathcal{E} N \\ \frac{\partial N}{\partial t'} &= -\frac{N - N_0}{T_1} + \frac{1}{\hbar} \mathcal{E} \mathcal{P}_2 \\ \frac{\partial \mathcal{E}}{\partial z'} &= -\frac{\mu_0 \omega_{21} c}{2} \mathcal{P}_2\end{aligned}$$

- ▶ Vyloučíme polarizaci, protože:

$$\frac{\partial \mathcal{P}_2}{\partial t} \ll \frac{\mathcal{P}_2}{T_2}$$

- ▶ Částečná adiabatická eliminace
- ▶ Polarizace spojená s časem  $T_2$  relaxuje rychle – kvazistacionární stav

$$\begin{aligned}\frac{\partial \mathcal{P}_2}{\partial t'} &= -\frac{\mathcal{P}_2}{T_2} - \frac{|d_{21}|^2}{\hbar} \mathcal{E} N \\ \frac{\partial N}{\partial t'} &= -\frac{N - N_0}{T_1} + \frac{1}{\hbar} \mathcal{E} \mathcal{P}_2 \\ \frac{\partial \mathcal{E}}{\partial t'} &= -\frac{\mu_0 \omega_{21} c}{2} \mathcal{P}_2\end{aligned}$$

- ▶ Vyloučíme polarizaci, protože:

$$\frac{\partial \mathcal{P}_2}{\partial t} \ll \frac{\mathcal{P}_2}{T_2}$$

- ▶ Odezvu prostředí ovlivňuje inverze populace hladin, která se vyvíjí v závislosti na velikosti signálu



- ▶ Částečná adiabatická eliminace
- ▶ Polarizace spojená s časem  $T_2$  relaxuje rychle – kvazistacionární stav

$$\begin{aligned}\frac{\partial \mathcal{P}_2}{\partial t'} &= -\frac{\mathcal{P}_2}{T_2} - \frac{|d_{21}|^2}{\hbar} \mathcal{E} N \\ \frac{\partial N}{\partial t'} &= -\frac{N - N_0}{T_1} + \frac{1}{\hbar} \mathcal{E} \mathcal{P}_2 \\ \frac{\partial \mathcal{E}}{\partial z'} &= -\frac{\mu_0 \omega_{21} c}{2} \mathcal{P}_2\end{aligned}$$

- ▶ Vyloučíme polarizaci, protože:

$$\frac{\partial \mathcal{P}_2}{\partial t} \ll \frac{\mathcal{P}_2}{T_2}$$

- ▶ Odezvu prostředí ovlivňuje inverze populace hladin, která se vyvíjí v závislosti na velikosti signálu
- ▶ Od intenzity elektrického pole  $\mathcal{E}$  k intenzitě záření  $I$

- Rychlostní rovnice popisují rychlost změny inverze populace hladin a intenzity záření

$$\frac{\partial N(z, t)}{\partial t} = \underbrace{\frac{N_0}{T_1}}_{\text{buzení}} - \underbrace{\frac{N(z, t)}{T_1}}_{\text{fluorescence}} - \frac{2}{\hbar\omega_{21}} \underbrace{\sigma I(z, t) N(z, t)}_{\text{stimul. emise/absorbce}}$$
$$\frac{\partial I(z, t)}{\partial z'} = \sigma N(z, t) I(z, t)$$

- ▶ Rychlostní rovnice popisují rychlost změny inverze populace hladin a intenzity záření

$$\frac{\partial N(z, t)}{\partial t} = \underbrace{\frac{N_0}{T_1}}_{\text{buzení}} - \underbrace{\frac{N(z, t)}{T_1}}_{\text{fluorescence}} - \frac{2}{\hbar\omega_{21}} \underbrace{\sigma I(z, t) N(z, t)}_{\text{stimul. emise/absorbce}}$$
$$\frac{\partial I(z, t)}{\partial z'} = \sigma N(z, t) I(z, t)$$

- ▶ Zákon zachování energie – fotony vs inverze populace hladin

- ▶ Rychlostní rovnice popisují rychlost změny inverze populace hladin a intenzity záření

$$\frac{\partial N(z, t)}{\partial t} = \underbrace{\frac{N_0}{T_1}}_{\text{buzení}} - \underbrace{\frac{N(z, t)}{T_1}}_{\text{fluorescence}} - \frac{2}{\hbar\omega_{21}} \underbrace{\sigma I(z, t) N(z, t)}_{\text{stimul. emise/absorbce}}$$
$$\frac{\partial I(z, t)}{\partial z'} = \sigma N(z, t) I(z, t)$$

- ▶ Zákon zachování energie – fotony vs inverze populace hladin
- ▶ Hustota energie  $u = I/c$

- ▶ Rychlostní rovnice popisují rychlost změny inverze populace hladin a intenzity záření

$$\frac{\partial N(z, t)}{\partial t} = \underbrace{\frac{N_0}{T_1}}_{\text{buzení}} - \underbrace{\frac{N(z, t)}{T_1}}_{\text{fluorescence}} - \frac{2}{\hbar\omega_{21}} \underbrace{\sigma I(z, t) N(z, t)}_{\text{stimul. emise/absorbce}}$$
$$\frac{\partial I(z, t)}{\partial z'} = \sigma N(z, t) I(z, t)$$

- ▶ Zákon zachování energie – fotony vs inverze populace hladin
- ▶ Hustota energie  $u = I/c$
- ▶ Einstein

$$B = \frac{c\sigma}{\hbar\omega}$$

- ▶ Rychlostní rovnice popisují rychlost změny inverze populace hladin a intenzity záření

$$\frac{\partial N(z, t)}{\partial t} = \underbrace{\frac{N_0}{T_1}}_{\text{buzení}} - \underbrace{\frac{N(z, t)}{T_1}}_{\text{fluorescence}} - \frac{2}{\hbar\omega_{21}} \underbrace{\sigma I(z, t) N(z, t)}_{\text{stimul. emise/absorbce}}$$

$$\frac{\partial I(z, t)}{\partial z'} = \sigma N(z, t) I(z, t)$$

- ▶ Zákon zachování energie – fotony vs inverze populace hladin
- ▶ Hustota energie  $u = I/c$
- ▶ Einstein

$$B = \frac{c\sigma}{\hbar\omega}$$

- ▶ Hustota fotonů  $\phi = I/(\hbar\omega c)$

- ▶ Rychlostní rovnice popisují rychlost změny inverze populace hladin a intenzity záření

$$\frac{\partial N(z, t)}{\partial t} = \underbrace{\frac{N_0}{T_1}}_{\text{buzení}} - \underbrace{\frac{N(z, t)}{T_1}}_{\text{fluorescence}} - \frac{2}{\hbar\omega_{21}} \underbrace{\sigma I(z, t) N(z, t)}_{\text{stimul. emise/absorbce}}$$
$$\frac{\partial I(z, t)}{\partial z'} = \sigma N(z, t) I(z, t)$$

- ▶ Zákon zachování energie – fotony vs inverze populace hladin
- ▶ Hustota energie  $u = I/c$
- ▶ Einstein

$$B = \frac{c\sigma}{\hbar\omega}$$

- ▶ Hustota fotonů  $\phi = I/(\hbar\omega c)$
- ▶ Tok fotonů  $F = I/(\hbar\omega)$

- ▶ Pro popis šíření impulsů s pomalu proměnnou obálkou stačí 5 rovnic. Rovnice popisují časový vývoj obálky impulsu, amplitudu polarizace prostředí a inverzi populace hladin.



- ▶ Pro popis šíření impulsů s pomalu proměnnou obálkou stačí 5 rovnic. Rovnice popisují časový vývoj obálky impulsu, amplitudu polarizace prostředí a inverzi populace hladin.
- ▶ Za předpokladu, že záření je v dokonalé rezonanci s prostředím ( $\omega = \omega_{21}$ ), a že signál má konstantní fázi, stačí nám 3 rovnice:

$$\begin{aligned}\frac{\partial \mathcal{E}}{\partial z'} &= -\frac{\mu_0 \omega_{21} c}{2} \mathcal{P}_2 \\ \frac{\partial \mathcal{P}_2}{\partial t'} &= -\frac{\mathcal{P}_2}{T_2} - \frac{|d_{21}|^2}{\hbar} \mathcal{E} N \\ \frac{\partial N}{\partial t'} &= -\frac{N - N_0}{T_1} + \frac{1}{\hbar} \mathcal{E} \mathcal{P}_2\end{aligned}$$

- ▶ Pro popis šíření impulsů s pomalu proměnnou obálkou stačí 5 rovnic. Rovnice popisují časový vývoj obálky impulsu, amplitudu polarizace prostředí a inverzi populace hladin.
- ▶ Za předpokladu, že záření je v dokonalé rezonanci s prostředím ( $\omega = \omega_{21}$ ), a že signál má konstantní fázi, stačí nám 3 rovnice:

$$\begin{aligned}\frac{\partial \mathcal{E}}{\partial z'} &= -\frac{\mu_0 \omega_{21} c}{2} \mathcal{P}_2 \\ \frac{\partial \mathcal{P}_2}{\partial t'} &= -\frac{\mathcal{P}_2}{T_2} - \frac{|d_{21}|^2}{\hbar} \mathcal{E} N \\ \frac{\partial N}{\partial t'} &= -\frac{N - N_0}{T_1} + \frac{1}{\hbar} \mathcal{E} \mathcal{P}_2\end{aligned}$$

- ▶ Stacionární řešení poskytuje rovnici popisující zesilování rezonančního záření

$$\frac{dl}{dz} = \frac{g_0}{1 + I/I_s} I$$







- ▶ Pro popis šíření impulsů s pomalu proměnnou obálkou stačí 5 rovnic. Rovnice popisují časový vývoj obálky impulsu, amplitudu polarizace prostředí a inverzi populace hladin.
- ▶ Za předpokladu, že záření je v dokonalé rezonanci s prostředím ( $\omega = \omega_{21}$ ), a že signál má konstantní fázi, stačí nám 3 rovnice:

$$\begin{aligned}\frac{\partial \mathcal{E}}{\partial z'} &= -\frac{\mu_0 \omega_{21} c}{2} \mathcal{P}_2 \\ \frac{\partial \mathcal{P}_2}{\partial t'} &= -\frac{\mathcal{P}_2}{T_2} - \frac{|d_{21}|^2}{\hbar} \mathcal{E} N \\ \frac{\partial N}{\partial t'} &= -\frac{N - N_0}{T_1} + \frac{1}{\hbar} \mathcal{E} \mathcal{P}_2\end{aligned}$$

- ▶ Stacionární řešení poskytuje rovnici popisující zesilování rezonančního záření

$$\frac{dI}{dz} = \frac{g_0}{1 + I/I_s} I$$

- ▶ V obecném případě časově proměnné obálky impulsu délky  $T_{imp}$  rozlišujeme 3 oblasti řešení: koherentní šíření ( $T_{imp} \ll T_1, T_2$ ), nekoherentní šíření ( $T_{imp} \gg T_1, T_2$ ), aproximace rychlostních rovnic ( $T_2 \ll T_{imp} \ll T_1$ )

-  VRBOVÁ M., ŠULC J.: *Interakce rezonančního záření s látkou*, Skriptum FJFI ČVUT, Praha, 2006
-  VRBOVÁ M., JELÍNKOVÁ H., GAVRILOV P.: *Úvod do laserové techniky*, Skriptum FJFI ČVUT, Praha, 1994 (<http://people.fjfi.cvut.cz/sulcjan1/ulat/>)
-  VRBOVÁ M. a kol.: *Lasery a moderní optika - Oborová encyklopedie*, Prometheus, Praha, 1994
-  LONČAR, G.: *Elektrodynamika I*, Skriptum FJFI ČVUT, Praha, 1990
-  Štol, I.: *Elektrina a magnetismus*, Skriptum FJFI ČVUT, Praha, 1994
-  Přednášky: <http://people.fjfi.cvut.cz/sulcjan1/lt1/>